

ФАЗОВАЯ ДИАГРАММА ДИССИПАТИВНОЙ КВАНТОВОЙ СИСТЕМЫ

С.А.Булгадаев

Для диссипативной квантовой системы, находящейся при $T \rightarrow 0$ в периодическом потенциале, построена фазовая диаграмма и найдены низкочастотные асимптотики корреляционных функций. Показано, что в зависимости от величины коэффициента трения система может находиться в локализованном или делокализованном состоянии.

В последнее время привлекло внимание квантовое поведение макроскопических объектов в среде с диссипацией ¹⁻⁵. При этом особый интерес представляет влияние диссипации на свойства системы находящейся в потенциале с несколькими минимумами. Такая система описывается эффективным „эвклидовым” (с „мнимым” временем) функционалом ^{1-3, 5, 6}

$$Z = \int Dq e^{S_{eff}}, \quad S_{eff} = S_0 + S_{int}, \quad S_{int} = \int_{-1/2 T}^{1/2 T} d\tau V(q), \quad (1)$$

$$S_0 = \frac{1}{2} \int_{-1/2 T}^{1/2 T} d\tau \left[m\dot{q}^2 + \frac{\eta}{2\pi} \int_{-\infty}^{\infty} d\tau' \left(\frac{q_\tau - q_{\tau'}}{\tau - \tau'} \right)^2 \right] = S_K + S_D,$$

где m – эффективная масса, η – коэффициент трения, $V(q)$ – потенциал, T – температура среды, $q(-1/2 T) = q(1/2 T)$.

В случае потенциалов с невырожденными минимумами главный интерес представляет более точный учет влияния диссипативного члена S_D на распад метастабильного состояния ^{1-3, 6}. В случае же потенциалов с вырожденными (или близкими к этому) минимумами, из-за возможности многократного туннелирования и нелокальности S_D , между разными туннельными траекториями возникает эффективное дальнедействующее взаимодействие, что делает задачу многочастичной ^{4, 5}.

Мы исследуем систему (1) при $T \rightarrow 0$ и периодическом потенциале. Этот случай уже был рассмотрен в предвзительной форме в ⁷, где была отмечена возможность существования в системе двух фаз (см. также ⁸): локализованной и делокализованной. Однако, приведенная в ⁷ фазовая диаграмма неверна, так как она основывается на фазовой диаграмме классического одномерного \ln -газа, содержащего нейтральные конфигурации только с чередующимися противоположными зарядами ⁹, которая отличается от фазовой диаграммы адекватного рассматриваемой системе \ln -газа со всеми нейтральными зарядовыми конфигурациями ⁸. Мы приведем исправленную фазовую диаграмму, а также найдем низкочастотные асимптотики корреляционных функций и подвижности в разных фазах.

Пусть $V(q) = -g \cos kq + Fq$, где F пока произвольная, зависящая от τ , сила. В дальнейшем будем считать, оставляя $V(q)$ без изменения, что

$$S_0 = \frac{1}{2} \iint q_\tau \square_{\tau\tau'} q_{\tau'} d\tau d\tau' = \frac{1}{2} \int \frac{d\omega}{2\pi} |q_\omega|^2 [m\omega^2 + \eta|\omega|] \quad (2)$$

так как $S_D \equiv \frac{1}{2} \iint q_\tau \alpha_{\tau\tau'} q_{\tau'} d\tau d\tau' > 0$, а также обезразмерим q включением в него k , при этом $\eta \rightarrow \bar{\eta} = \eta/k^2$, $m \rightarrow \bar{m} = m/k^2$, $F \rightarrow \bar{F} = F/k$. Из (2) следует, что в определении асимптотических по τ свойств модели (1) главную роль играет нелокальная, диссипативная часть „кинетической” энергии S_D . Ей соответствует пропагатор с дальнедействующим

ядром

$$\square^{-1}(\tau) \cong -(\pi\bar{\eta})^{-1} \ln|\tau|, \tau \gg m/\eta.$$

Поэтому низкочастотные свойства модели (1) с периодическим потенциалом совпадают с длинноволновыми свойствами классического одномерного \ln -газа с зарядами $e = \pm 1$, содержащего все нейтральные зарядовые конфигурации ^{7,8} $\int d\tau \rho_N(\tau) \equiv \sum_1^N e_i \int \delta(\tau - \tau_i) d\tau =$

$$Z = \sum_0^{\infty} \frac{z^N}{N!} \sum'_{\{\rho_N\}} \int \prod_{i=1}^N d\tau_i \exp \left\{ -\frac{1}{2} \iint (\rho + iF)_{\tau} \square_{\tau\tau'}^{-1} (\rho + iF)_{\tau'} \right\}, \quad (3)$$

где $z = g/2$, $\int d\tau F = 0$, а \sum' означает суммирование по всем нейтральным конфигурациям $\{\rho_N\}$

ям, при этом обратная температура \ln -газа $\beta = (\pi\bar{\eta})^{-1}$.

Систему (1) или (3) можно исследовать методом ренорм-группы (РГ) при $gm/\eta \ll \ll 1$ ⁸, причем m/η будет играть роль масштаба a , обрезающего логарифмическое поведение $\square^{-1}(\tau)$. Уравнения РГ имеют вид ($F = 0$) ⁸

$$\frac{dv}{dl} = -v + \frac{2}{3\pi\bar{\eta}} u^2, \quad \frac{du}{dl} = xu - Bu^3, \quad l = da/a, \quad a(l=0) = m/\eta, \quad (4)$$

где $v = \bar{\eta}/a$, $u = ga$, $x = 1 - 1/2\pi\bar{\eta}$, $B = 16/3$. Из (4) следует, что при $u \ll 1$ переменная v незначительна и что $\bar{\eta}$ (или β) не ренормируется, в отличие от случая одномерного \ln -газа с только чередующимися зарядами ⁹. Свойства системы (1) определяются величиной коэффициента трения $\bar{\eta}$. При $\bar{\eta} < \bar{\eta}_c = 1/2\pi$ ($x < 0$) потенциал незначителен и поведение системы при $\tau \rightarrow \infty$ ($\omega \rightarrow 0$) определяется „диссипатонами“ со спектром $\bar{\eta}|\omega|$ (они аналогичны спиновым волнам низкотемпературной фазы XY-модели) и медленно убывающим коррелятором ($1/T \gg |\tau - \tau'| \gg m/\eta$)

$$\langle q_{\tau} q_{\tau'} \rangle \sim -(\pi\bar{\eta})^{-1} \ln(|\tau - \tau'| T). \quad (5)$$

Подвижность частицы $\mu(\omega) \equiv \bar{\eta}|\omega| \langle qq \rangle_{\omega}$ ⁷ в этой фазе при $\omega \rightarrow 0$ равна $\mu(\omega) = 1 + 0(|\omega|)$, что соответствует ее делокализации.

При $\bar{\eta} > \bar{\eta}_c$ потенциал становится существенным. В этой области низкочастотный спектр имеет вид $\bar{\eta}|\omega| + \bar{u}\xi^{-1}$, где $\xi \sim \frac{m}{\eta} e^{l^*}$ – корреляционная длина, причем ($u_0 = gm/\eta$)

$$l^* = \begin{cases} \frac{1}{2x} [C + \ln(1 - \bar{u}^2/u_0^2)], & \text{при } u_0 > \bar{u}, x \ll 1; \\ \frac{1}{x} \ln \bar{u}/u_0, & \text{при } u_0 \ll u; \end{cases} \quad (6)$$

C – константа порядка 1 и $\bar{u}^2 = x/B$. Такому спектру соответствует коррелятор ($|\tau - \tau'| \gg M^{-1} \equiv \bar{\eta}\xi/\bar{u}$)

$$\langle q_{\tau} q_{\tau'} \rangle \sim -(\pi\bar{\eta})^{-1} [si(\tau M) \sin(\tau M) - ci(\tau M) \cos(\tau M)] \sim o((\tau M)^{-\alpha}), \alpha < 1, \quad (7)$$

который осциллируя убывает почти степенным образом. $\mu(\omega) \cong |\omega|/M \rightarrow 0$ при $\omega \rightarrow 0$ и следовательно в этой фазе имеется слабая (т.е. характеризуемая степенным убыванием коррелятора) локализация.

Как отмечено в ⁷ другой областью параметров системы (1), допускающей изучение, является область применимости метода перевала $g\bar{m} \gg 1, \bar{\eta}^2$. В этой области Z можно аппроксимировать большой статсуммой газа туннельных траекторий – клинков ⁷

$$q_{cl}(\tau) = \sum e_i f(\tau - \tau_i), \quad f(\tau) = 4 \operatorname{arctg}(e^{\omega_0 \tau}), \quad \omega_0 = (g/\bar{m})^{1/2}, \quad e_i = \pm 1, \quad \sum e_i = 0,$$

который эффективно эквивалентен газу частиц с зарядами $e_i = \pm 1$, взаимодействующими по логарифмическому закону ^{4,5,7}

$$Z = \sum_{N=0}^{\infty} \frac{z^N}{N!} \sum_{\{e_i\}} \prod_{i=1}^N \int d\tau_i \exp \left\{ -\frac{1}{2} \sum_{i \neq k} e_i e_k \tilde{\Delta}_{\tau_i \tau_k} - \int d\tau \bar{F} q_{cl} \right\}, \quad (8)$$

где $z = \gamma/2 = \omega_0 \left(\frac{s}{2\pi}\right)^{1/2} e^{-s}$, $s = 8(g\bar{m})^{1/2}$ – действие одного кинка,

$$\tilde{\Delta}_{\tau} \equiv \Delta_{\tau} - \Delta_0 = \int \frac{d\omega}{2\pi} (e^{i\omega\tau} - 1) |f_{\omega}|^2 \alpha_{\omega} \cong -4\pi\bar{\eta} \ln(|\tau| \omega_0), \quad (\omega_0 |\tau|) \gg 1,$$

где $f_{\omega} = -2\pi i [\omega \operatorname{ch}(\pi\omega/2\omega_0)]^{-1}$. (8) можно представить в виде

$$Z = \int D\tilde{q} e^{-S_{\Phi\Phi}}, \quad S_{\Phi\Phi} = \frac{1}{2} \iint [\tilde{q}_{\tau} \Delta_{\tau\tau}^{-1} \tilde{q}_{\tau'} - F_{\tau} \alpha_{\tau\tau}^{-1} F_{\tau'}] + \int d\tau \tilde{V}(\tilde{q}), \quad (9)$$

где $\tilde{V}(\tilde{q}) = -\gamma \cos \tilde{q} - \bar{q}F$, $\bar{q}_{\tau} = \int \frac{d\omega}{2\pi} e^{i\omega\tau} \tilde{q}_{\omega} f_{\omega}^{-1} \alpha_{\omega}^{-1}$. Из (3), (8) или (1, 9) следует, что система (1) в низкочастотном пределе является самодуальной относительно преобразований ⁷

$$2\pi\bar{\eta} \rightarrow 1/2\pi \bar{\eta}, \quad gm/\eta \rightarrow \gamma/\omega_0, \quad (10)$$

имеющих неподвижную точку $\bar{\eta}^* = 1/2\pi$, $s^* \cong 1,5$ ⁷, которая лежит вне области применимости разложения (8), но попадает на границу применимости разложения (3), так как $g^*m^*/\eta^* \cong 0, 2$.

Применение РГ к (8), (9), справедливое при $\gamma/\omega_0 \ll 1$, дает для корреляционной длины, спектра и коррелятора эффективной координаты \tilde{q} выражения, совпадающие с полученными выше, с учетом замены (10). При этом значение $\bar{\eta}_c = \bar{\eta}^*$, остается неизменным и следовательно, критическая линия $\bar{\eta} = 1/2\pi$ переходит в себя при преобразовании дуальности. Для нахождения свойств системы (1) нужна связь между корреляторами $\langle qq \rangle_{\omega}$ и $\langle \tilde{q}\tilde{q} \rangle_{\omega}$. Она имеет вид

$$\langle qq \rangle_{\omega} = \alpha_{\omega}^{-1} [1 - \alpha_{\omega}^{-1} |f_{\omega}|^{-2} \langle \tilde{q}\tilde{q} \rangle_{\omega}]; \quad \mu(\omega) \cong 1 - \tilde{\mu}(\omega), \quad \omega \rightarrow 0 \quad (11)$$

При $\bar{\eta} > \bar{\eta}_c$ получаем

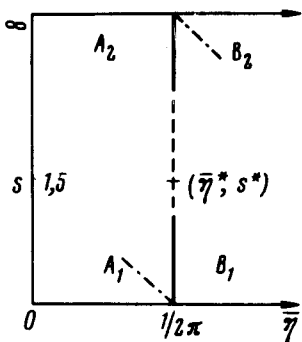
$$\langle qq \rangle_{\omega} \cong O(1/\eta) \quad \mu(\omega) \cong O(|\omega|). \quad (12)$$

Таким образом эта фаза на языке исходной системы (1) является локализованной. Эффективно, каждое туннелирование в ней сопровождается обратным туннелированием, а вероятность любого нескомпенсированного туннелирования стремится к нулю $\gamma(T) \sim \gamma_0 (T/\omega_0)^{2\pi\bar{\eta}}$.

В результате частица застревает в окрестности какого-нибудь минимума. При $\bar{\eta} < \bar{\eta}_c$ имеем

$$\langle qq \rangle_{\omega} = (\bar{\eta} | \omega |)^{-1} [1 - (4\pi^2 M)^{-1} |\omega| + \dots], \quad \mu(0) = 1 \quad (13)$$

и следовательно частица делокализована. Это является следствием того, что в этой фазе вероятности нескомпенсированных туннелирований растут при увеличении масштаба. Отметим, что найденные статические подвижности совпадают с предположенными в ⁷.



Фазовая диаграмма. Фазы A_1, A_2 – делокализованы, фазы B_1, B_2 – локализованы. Штриховая линия – интерполяция границы раздела фаз в окрестность неподвижной точки $(\bar{\eta}^*, s^*)$, штрих-пунктирные – границы раздела фаз по Шмидту ⁷

В результате получается фазовая диаграмма (рисунок). Стоит заметить, что хотя проведенный РГ анализ ничего не говорит о наличии дополнительной структуры фазовой диаграммы в окрестности неподвижной точки $(\bar{\eta}^*, s^*)$, нельзя полностью исключить ее возможность. Если же дополнительная структура существует, она должна быть симметричной относительно преобразования дуальности (10).

В заключение посмотрим как располагаются области параметров джозефсоновских контактов на диаграмме. В этом случае $g = I_c / 2e$, $\bar{\eta} = \hbar / 4e^2 R$, $\bar{m} = \hbar C / 4e^2$, где I_c , R , C – критический ток, шунтирующее сопротивление и емкость контакта. Интенсивность затухания в контактах обычно характеризуют отношением $\omega_0 / \omega_c = \bar{\eta} (g\bar{m})^{-1/2}$. Отсюда следует, что области применимости разложений (3) и (8) при $\bar{\eta} \sim 1$ соответствуют режимам сильного и слабого затухания. Для туннельных переходов $\omega_0 / \omega_c \cong 10^{-1} \div 10^{-3}$, а для точечных контактов $\omega_0 / \omega_c \gg 1$.

Литература

1. Caldeira A.O., Leggett A.J. Phys. Rev. Lett., 1981, 46, 2118.
2. Ambegaokar V., Eckern U., Schon G. Phys. Rev. Lett., 1982, 48, 1745.
3. Ларкин А.И., Овчинников Ю.Н. ЖЭТФ, 1983, 85, 1510.
4. Chakravarty S. Phys. Rev. Lett., 1982, 49, 681.
5. Bray A.J., Moore M.A. Phys. Rev. Lett., 1982, 49, 1545.
6. Ларкин А.И., Овчинников Ю.Н. Письма в ЖЭТФ, 1983, 37, 322; Мельников В.И., Мешков С.В. Письма в ЖЭТФ, 1983, 38, 111.
7. Schmid A. Phys. Rev. Lett., 1983, 51, 1506.
8. Булгадаев С.А. ТМФ, 1982, 51, 424; Phys. Lett., 1981, 86A, 213.
9. Anderson P.W., Yuval G., Hamann D.R. Phys. Rev., 1970, B1, 4464.